

## (1) 限界状態設計法による合成桁橋の荷重係数について

近畿大学理工学部 前田 幸雄 近畿大学理工学部 谷平 勉  
 大阪大学工学部 松井 繁之 高田 機工 個○禮場 侍郎  
 日立造船 個 酒井甚一郎 日本橋梁 個 池田 秀夫

## 1. まえがき

構造物の設計法は、許容応力度設計法から荷重作用および抵抗強度の不確実性を考慮した限界状態設計法へと世界的に移行しつつある<sup>1)2)</sup>。わが国においても、土木学会を中心に限界状態設計法に関する基礎的検討が加えられ、ガイドラインが示された<sup>3)</sup>。さらに、コンクリートの分野では本年8月に限界状態設計法による規準が公表される予定であり、鋼橋の分野でも将来に向けて新規準へ移行すべく検討されている。橋梁構造物に限界状態設計法を採用するには、種々の限界状態、荷重強度、抵抗強度、および目標とする安全性レベルの設定が不可欠となる。このためには、荷重強度および抵抗強度に関する十分な統計資料の収集、整理が重要となる。

筆者等は、合成桁に関するこの種の資料の収集、整理を行い、これらに、既往の文献を加えて統計処理を施し、合成桁橋の限界状態設計法の検討を行ってきた<sup>4)~8)</sup>。ここでは、主として単純合成桁橋の終局限界状態における抵抗強度モデルおよび実測交通荷重に基づく荷重作用を考慮したうえで、その安全性の検討を行い、得られた安全性指標を基に荷重係数の試算を行った。

## 2. 研究の目的と経緯

昭和56年、関西道路研究会・道路橋調査研究委員会に、現在の許容応力度に基づく道路橋示方書に代わるべき新しい設計規準の調査研究を目的として、限界状態設計法研究委員会が設けられ、その中に他の専門委員会と共に、合成構造専門委員会が作られた。当委員会では、まず、以前より調査を続けていた諸外国の新しい設計規準を検討すると共に<sup>9)~14)</sup>、わが国の荷重強度および抵抗強度に関する資料収集を行い、両者の特性を調べることにした。荷重強度については、大阪市周辺の数橋で、通行車両の重量分布、混入率、走行特性等を実測し、作成した荷重応答のシミュレーションプログラムを用いて活荷重モデルを作成した。一方、抵抗強度については、抵抗強度に影響を及ぼす諸因子について統計データの収集に努力を傾け、抵抗強度モデルを作成した。最終的に、両強度の分布特性を結合して安全性の検討を行い、荷重係数の試算を行った。

なお、成果に一般性を与えるため、建設省制定土木構造物標準設計「活荷重合成プレートガーダー橋」（以下標準設計と呼ぶ）、の支間長 25, 30, 44m（設計No.1657, 1662, 1674）を対象橋梁として選んだ。

表-1 既存規準における限界状態

## 3. 限界状態と安全性照査

一般に、構造物の設計において考慮すべき限界状態は、終局、使用および疲労限界状態等がある。ここでは終局限界状態についてのみ研究対象とした。ちなみに、諸外国の既存設計規準における、合成桁橋の限界状態は表-1に示すとおりである。ところで、今回検討した標準設計の主桁断面は、並列桁であることから転倒等の不安定現象は生じにくいこと、座屈現象は鋼桁一般の問題であり合成断面特有の問題でないこと、鋼断面はいわゆるノンコンパクト断面であること等を考慮して、終局限界

限界状態	BS5400 Part 5	オンタリオコード
終 局	<ul style="list-style-type: none"> <li>・構造物の部分ある</li> <li>・全体の釣合の喪失</li> <li>・崩壊にいたる疲労劣化</li> <li>・座屈</li> </ul>	<ul style="list-style-type: none"> <li>・釣合の喪失</li> <li>・断面の破損</li> <li>・塑性ヒンジの形成</li> <li>・座屈</li> </ul>
使 用	<ul style="list-style-type: none"> <li>・ひびわれ</li> <li>・鋼とコンクリートの接触面のズレ</li> <li>・振動</li> </ul>	<ul style="list-style-type: none"> <li>・たわみ</li> <li>・振動</li> <li>・ひびわれ</li> <li>・コンクリートのはくり</li> </ul>



これらのデータ収集を行った。資料の収集は、表-2に示す項目を設定し、既往の文献の収集に努めたが、鋼桁の製作精度に関しては、橋梁製作会社の協力により独自のデータを収集した。収集したデータは、図-3に例示するように、統計処理を行った（図-3は鋼板の厚さを示す）。

**4.3 合成断面の抵抗モーメント** 合成断面の終局抵抗モーメントは、使用材料強度および構造寸法のばらつき、製作および施工の不確実性、設計計算の仮定による不確実性等により確率変数となる。式(1), (2)を用い、終局抵抗モーメントの分布を二次モーメント法で計算することにした。収集資料の中から使用したデータを表-3に示す。終局抵抗モーメントに影響を与える諸因子のうち、終局抵抗モーメント

の変動に対し何が最も支配的であるかを知るために、諸因子の変動係数を変化させてその変動を調査した。その結果を図-4に示す。この図から、構造寸法の変動係数およびコンクリート強度の変動係数を変化させても終局抵抗モーメントの変動係数の変化は比較的小小さく、鋼材強度の変動だけが顕著に影響していることがわかった。これは、構造寸法の変動係数はもともと小さいこと、また、コンクリート強度の変動係数は鋼材のそれに対して大きいが、一般的の合成断面においては、床版は最小厚規定によって桁断面としてのコンクリート応力に余裕があるため、鋼桁の下フランジの応力が最も早く降伏点応力に到達するためである。すなわち、合成断面の終局抵抗モーメントは通常式(2)となる。したがって、標準設計断面においては鋼桁の下フランジの降伏応力についてのみ検討することにした。

**4.4 シミュレーション法** 合成断面の抵抗モーメントはシミュレーション法によっても求めることができる。すなわち、構造寸法および材料強度にそれぞれの確率分布を設定し、それに応じて発生させた乱数を用いて計算する。この方法によれば、種々の確率分布を考慮した計算を行うことが可能である。二次モーメント法によると、計算の過程において、数学的な厳密性を欠くために、変動因子の分布形と特性値が既知の場合は、

表-3 抵抗値の構成要素の特性値

シミュレーション法がより有効な手法であることがわかった。二次モーメント法とシミュレーション法で計算した結果を表

表-2 収集資料項目

項目	欄目
材 料	鋼材 鋼板 ヤング係数、ボアソン比、降伏点強度 引張強度、板厚、強度と板厚との相関 鉄筋 ヤング係数、降伏点強度、引張強度 断面積 コンクリート 圧縮強度、引張強度、弹性係数、
製作・施工	鋼材 鋼板 フランジ幅、腹板高、主筋間隔 支間長 コンクリート 床版厚、ハンチ高、鉄筋間隔 かぶり寸法

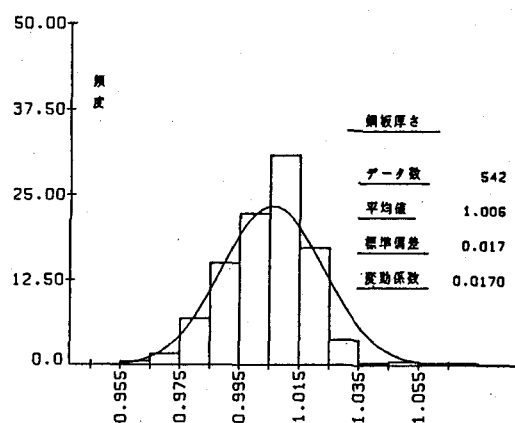


図-3 収集データの一例

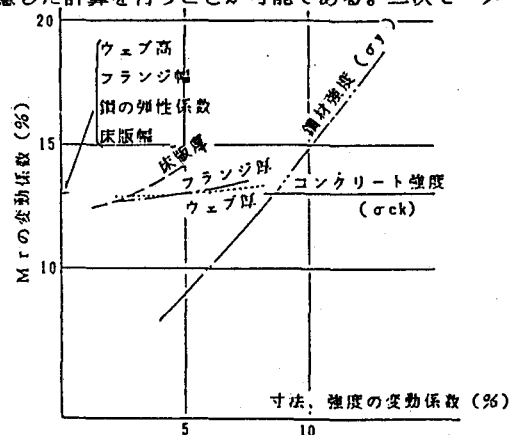


図-4  $M_r$  の変動係数の変化





$$\phi \sigma_y^* \geq \gamma_0 \{ \gamma_{D1} \sigma_{D1}^* + \gamma_{D2} (\sigma_{D2}^* + \sigma_{CR}^* + \sigma_{SH}^*) + \gamma_L \sigma_{L+I}^* \} \dots (4)$$

ここに、\*は規準に規定する公称強度、公称荷重による応力度を示す。また、 $\phi$ は性能係数、 $\gamma_0$ は構造物の重要度、解析上の不確定要因を考慮した全体安全係数、 $\gamma_{D1}$ は合成前の死荷重係数、 $\gamma_{D2}$ は合成後の死荷重係数、および、 $\gamma_L$ は活荷重係数を示す。

標準設計と同じ $\beta$ を確保するためには式(4)の両辺が等しくなるように荷重係数を決定すればよい。ここでは、抵抗強度に統計量の $1\sigma$ 、荷重作用には $2\sigma$ を基準として、表-10 安全性指標、活荷重係数 $\phi=0.9$ 、 $\gamma_0=1.0$ 、 $\gamma_{D1}=1.2$ 、および $\gamma_{D2}=1.5$ と固定し、 $\gamma_L$ を求めるにした。結果を表-10に示す。これらから現行規準とのキャリブレーションによる活荷重係数は支間長によって若干変動があるが、44mの最大値の2.30程度が妥当と考える。

### あとがき

本研究ではつきのような成果を得た。

- (1) 合成桁の終局抵抗モーメントに関して影響を及ぼす諸因子についてデータを収集し統計的に処理した。そして、鋼材強度が最も影響が大きいことを示した。さらに、シミュレーション法を用いることによって、従来の二次モーメント法より簡単に、しかもより正確に求められることを示した。
- (2) シミュレーション法により、荷重作用を求めた。
- (3) 現行規準によって設計される代表的な橋梁として、建設省制定土木構造物標準設計「活荷重合成プレートガーダー橋」を用い、安全性レベルを $\beta$ で示した。
- (4) 抵抗強度と活荷重作用のシミュレーションの結果に基づいて、合成桁橋の終局限界状態における設計照査式と荷重係数を提案した。

なお今後は、データの不足を補い設計荷重モデルを設定し、目標とする安全性指標を検討すると共に、対象橋梁として、幅員、形式等を、また、他の限界状態に関する幅広く調査していきたいと考えている。

最後に、関西道路研究会・道路橋調査研究委員会の合成構造専門委員会の委員各位および、特に本論文の作成に際し、終始熱心に討議を頂いた大阪市土木局橋梁課・亀井、村松両氏、鶴酒井鉄工所・石崎氏に謝意を表する。

### < 参考文献 >

- 1) BSI:BS5400.
- 2) カナダ・オンタリオ州: オンタリオ州道路橋設計規準, 1983.
- 3) 構造工学委員会構造物安全性小委員会: 安全性照査のための構造設計基準, 土木学会誌, 1980.9.
- 4) 酒井・前田・松井・石崎: 合成桁の安全性指標と破壊確率について, 土木学会第40回年次学術講演会講演概要集, I-156, 1985.
- 5) 池山・前田・谷平・村松: 合成断面における構成要素の変動と抵抗モーメント, 土木学会第40回年次学術講演会講演概要集, I-490, 1985.
- 6) 神原・前田・松井・杉本: 道路橋の自動車荷重に関する研究, 土木学会第40回年次学術講演会講演概要集, I-155, 1985.
- 7) 酒井・前田・松井・石崎: シミュレーションによる橋梁の設計活荷重に関する研究, 土木学会第41回年次学術講演会講演概要集, 1986.
- 8) 池山・前田・谷平・滑澤: 合成桁橋の安全性指標におよぼす諸要因について, 土木学会第41回年次学術講演会講演概要集, 1986.
- 9) 前田: 西ドイツ・鋼合組合ゲタ設計施工指針(案)について, 橋梁と基礎, 1976.7.
- 10) 前田: 英国におけるBS 5400 合成橋梁の新しい設計基準(案)について, 橋梁と基礎, 1978.11-12.
- 11) 前田: 最近のアメリカにおける合成橋梁設計法の動向について, 橋梁と基礎, 1980.9.
- 12) 前田・栗田・春元・石崎・石川: DIN 18806 第1編合成柱の設計規準(草案)と設計施工例, 橋梁と基礎, 1983.6.
- 13) 前田・亀井: イギリスの統一橋梁規準 BS 5400 Part 10 能力の指針, 橋梁と基礎, 1982.9.
- 14) 前田・西堀・松井・石崎・亀井他: カナダ・オンタリオ州道路設計規準について, 橋梁と基礎, 1985.9.
- 15) 版神高速道路公団: 版神高速道路における活荷重の実態調査と荷重評価のための解析, 第2編 活荷重 分割会報告(別冊1), 1984.3.
- 16) 旧版神大橋の健全性調査研究委員会: 自動車荷重測定結果、(内部資料)。
- 17) (社) 自動車技術協会: 自動車諸元表。
- 18) 大橋技術研究会: 荷重抵抗係数設計法, 1980.10.
- 19) たとえば、伊勢田他: 確率論的解析に基く荷重係数のキャリブレーション, 土木学会第40回年次学術講演会講演概要集, I-133, 1985.
- 20) A.M.Freudenthal他: Reliability Approach in Structural Engineering, Maruzen, 1975.
- 21) A.H-Ang,C.A.Cornell:Reliability Basis of Structural Safety and Design, ASCE ST 9, 1974.
- 22) A.H-Ang:Structural Reliability and Probability-Based Design, Series of Special Lectures, Department of Civil Engineering, Osaka University, 1976.5.
- 23) 大阪市土木局、関西道路研究会道路橋調査研究委員会: 旧神崎橋の耐荷力に関する研究報告書, 1983.3.